

Curso: Métodos Numéricos II
Professor: Creto Augusto Vidal
Semestre: 2021.1
Aula # 13

1. Objetivo: Desenvolver estratégias para resolver problemas especiais em que o integrando apresenta **singularidade** em um dos limites de integração, mas, ainda assim, a integral existe.

2. Definição do problema e análise preliminar.

O problema a ser resolvido é

$$(1) \quad I = \int_a^b f(x) dx,$$

onde a ou b ou ambos (a e b) são pontos de singularidade, isto é, pontos onde $\lim_{x \rightarrow x_{\text{sing}}} f(x) = +\infty$ ou $\lim_{x \rightarrow x_{\text{sing}}} f(x) = -\infty$, mas mesmo assim I é finito.

Exemplo:

$$(2) \quad I = \int_0^1 \frac{1}{\sqrt{x}} dx = 2. \text{ Aqui, o limite inferior (zero) é um ponto de singularidade pois, } \lim_{x \rightarrow 0+} \left(\frac{1}{\sqrt{x}} \right) = +\infty.$$

O gráfico de $f(x) = \frac{1}{\sqrt{x}}$ no intervalo de integração é mostrado na Figura 1.

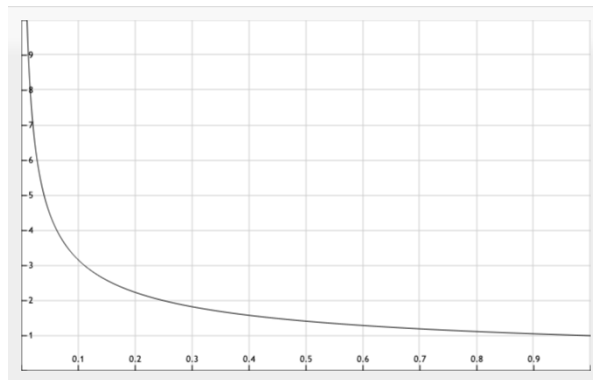


Figura 1: Gráfico de $f(x) = \frac{1}{\sqrt{x}}$ no intervalo $[0, 1]$.

Veja que, à medida que x vai se aproximando de 0 (zero), o valor de $f(x)$ vai ficando extremamente grande. Assim, qualquer tentativa de resolver o problema mostrado na equação (2) usando fórmulas de **Newton-Cotes** da abordagem **Fechada** vai falhar. Isso acontece por conta da divisão por zero que ocorre quando $f(x)$ for calculada no ponto de interpolação inicial (ponto de singularidade), isto é,

$$f(x_i) = f(0) = \frac{1}{\sqrt{0}} = \frac{1}{0} = \text{NAN}.$$

Se fórmulas de **Newton-Cotes Abertas** forem usadas para resolver esse problema, o ponto de singularidade não é usado e, portanto, uma solução é obtida. Por exemplo, usando a regra do trapézio aberta sem subdivisões ($N=1$) o resultado é $I = \int_0^1 \frac{1}{\sqrt{x}} dx \approx 1.478398$ e, usando $N=100.000$ (cem mil partições) o resultado é $I = \int_0^1 \frac{1}{\sqrt{x}} dx \approx 1.998310$.

Como pode ser observado, realmente o processo não falha, mas a convergência para um valor aceitável exige um número absurdo de partições.

Note que, até mesmo uma **fórmula aberta** com polinômio de substituição de **grau 6** com $N = 100.000$ daria um resultado $I = \int_0^1 \frac{1}{\sqrt{x}} dx \approx 1.999262$, que é apenas um **pouco melhor**, mas exige um **esforço computacional enorme**.

Usar Quadraturas de Gauss-Legendre também não causará problemas já que as raízes dos polinômios de Legendre estão no interior do intervalo de integração e, portanto, a função não será calculada no ponto de singularidade. Os resultados melhoram, mas, ainda assim, não são uma maravilha. Por exemplo, Gauss-Legendre com 2 (dois) pontos e $N=1000$ daria um resultado igual a $I = \int_0^1 \frac{1}{\sqrt{x}} dx \approx 1.98894$.

Essa baixa acurácia é causada pelo crescimento ilimitado (singularidade) próximo ao ponto $x = 0$ (que é o limite inferior de integração). Assim, estratégias diferentes para melhorar a acurácia da solução são apresentadas a seguir.

3. Estratégias exponenciais simples e dupla.

3.1 Discussão preliminar de como resolver o problema da acurácia

As estratégias apresentadas nesta seção são inspiradas no dinossauro Dino (Figura 2).



Figura 2: Dinossauro Dino.

Sim, será feita uma mudança de variável na integral mostrada na equação (1) de modo que o gráfico do novo integrando fique parecido com o dinossauro Dino adormecido (Figura 3).

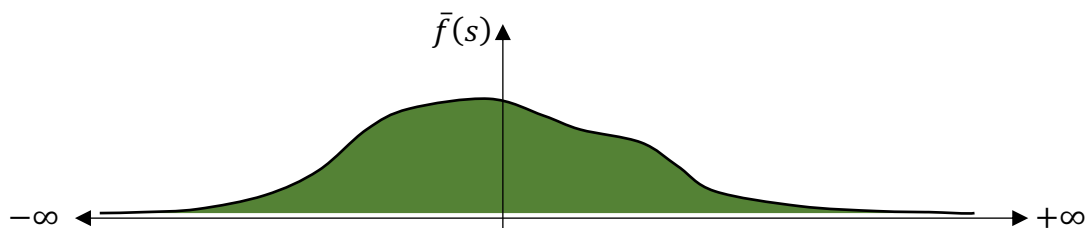


Figura 3: Dinossauro Dino adormecido (faça um esforço de imaginação!!).

A mudança de variável é a seguinte:

$$(3) \quad I = \int_a^b f(x) dx = \int_{-\infty}^{+\infty} f(x(s)) \frac{dx(s)}{ds} ds = \int_{-\infty}^{+\infty} \bar{f}(s) ds.$$

Lembre-se de que, na Quadratura de Gauss-Legendre, uma mudança de variável parecida foi realizada para que o intervalo $[a, b]$ na variável x fosse mapeado pelo intervalo $[-1, 1]$ na variável s . Aqui a relação entre x e s vai ser feita de tal forma que $s = -\infty$ é mapeada em $x = a$, e $s = +\infty$ é mapeada em $x = b$, isto é, $a = x(-\infty)$ e $b = x(+\infty)$.

A equação de $x(s)$ definirá as duas estratégias seguintes:

- 1) exponencial simples e
- 2) exponencial dupla.

3.2 Mudança de variável

Para a mudança de variável, precisam-se definir $x(s)$ e $\frac{dx(s)}{ds}$ (veja a equação (3)). Assim,

- Para a exponencial simples

$$(4) \quad x(s) = \frac{a+b}{2} + \frac{b-a}{2} \tanh(s) \quad e$$

$$(5) \quad \frac{dx(s)}{ds} = \frac{b-a}{2} (\operatorname{sech}(s))^2 = \frac{b-a}{2} \frac{1}{(\cosh(s))^2}.$$

- Para a exponencial dupla

$$(6) \quad x(s) = \frac{a+b}{2} + \frac{b-a}{2} \tanh\left(\frac{\pi}{2} \sinh(s)\right) \quad e$$

$$(7) \quad \frac{dx(s)}{ds} = \frac{b-a}{2} \left[\frac{\pi}{2} \cosh(s) \left(\operatorname{sech}\left(\frac{\pi}{2} \sinh(s)\right) \right)^2 \right] = \frac{b-a}{2} \left[\frac{\pi}{2} \frac{\cosh(s)}{\left(\cosh\left(\frac{\pi}{2} \sinh(s)\right) \right)^2} \right]$$

Em termos de programação das duas técnicas os ingredientes já estão todos no lugar, ou seja, o problema original na equação (1) foi trocado pelo problema da equação (3) repetido na equação (8) abaixo

$$(8) \quad I = \int_{-\infty}^{+\infty} \bar{f}(s) ds$$

onde

$$(9) \quad \bar{f}(s) = f(x(s)) \frac{dx(s)}{ds} \begin{cases} = (eq. (4)) \times (eq. (5)) & \text{para exponencial simples, ou} \\ = (eq. (6)) \times (eq. (7)) & \text{para exponencial dupla.} \end{cases}$$

Uma possibilidade de resolver o problema (8), sabendo que o integrando é uma função composta de s , é tentar colocá-lo na forma da integração de Gauss-Hermite, isto é,

$$(10) \quad I = \int_{-\infty}^{+\infty} e^{-s^2} \left(e^{s^2} \bar{f}(s) \right) ds = \int_{-\infty}^{+\infty} e^{-s^2} \left(\bar{\bar{f}}(s) \right) ds,$$

onde

$$(11) \quad \bar{\bar{f}}(s) = e^{s^2} \bar{f}(s).$$

Observação: Para que a integral (8) tenha um valor finito, o integrando tem que ter a forma da Figura 3 (Dino adormecido). **Ainda não foi mostrado que a mudança de variável proposta realmente faz com que a função tenha essa forma.**

Antes de fazer isso de maneira formal, o exemplo (2) será trabalhado com as duas estratégias: exponencial simples e exponencial dupla.

3.3 Mudança de variável aplicada ao exemplo (2)

3.3.1 Exponencial simples

$$(12) \quad I = \int_0^1 \frac{1}{\sqrt{x}} dx = \int_{-\infty}^{+\infty} \bar{f}(s) ds = \int_{-\infty}^{+\infty} \frac{1}{\sqrt{x(s)}} \frac{dx(s)}{ds} ds = \int_{-\infty}^{+\infty} \frac{1}{\sqrt{x(s)}} \frac{1-0}{2} \frac{1}{(\cosh(s))^2} ds$$

A forma final do problema fica

$$(13) \quad I = \int_{-\infty}^{+\infty} \frac{1}{\sqrt{\left(\frac{0+1}{2} + \frac{1-0}{2} \tanh(s)\right)}} \frac{1-0}{2} \frac{1}{(\cosh(s))^2} ds = \int_{-\infty}^{+\infty} \frac{1}{2} \frac{1}{\sqrt{\frac{1}{2}(1+\tanh(s))}} \frac{1}{(\cosh(s))^2} ds$$

O gráfico do integrando na equação (13) é mostrado na Figura 4 a seguir.

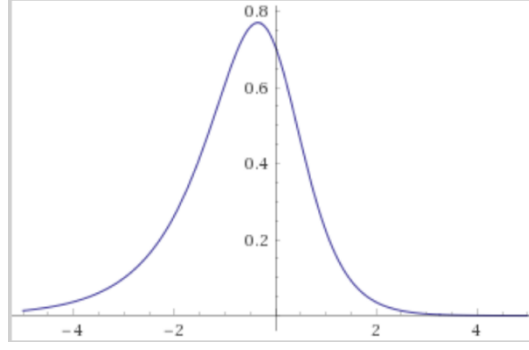


Figura 4: Gráfico de $\bar{f}(s)$ para o exemplo (2) com exponencial simples.

Veja que, de fato, $\bar{f}(s)$ do exemplo (Figura 4), usando a substituição de x com as fórmulas da exponencial simples mostradas nas equações (4) e (5), tem a forma do Dino adormecido mostrada na Figura 3, ou seja, o gráfico tende a zero quando s é bem pequeno ou bem grande. Neste exemplo, com $s = \pm 5$, $\bar{f}(s)$ já está visivelmente bem próxima de zero.

3.3.2 Exponencial dupla

$$(14) \quad I = \int_0^1 \frac{1}{\sqrt{x}} dx = \int_{-\infty}^{+\infty} \bar{f}(s) ds = \int_{-\infty}^{+\infty} \frac{1}{\sqrt{x(s)}} \frac{dx(s)}{ds} ds = \int_{-\infty}^{+\infty} \frac{1}{\sqrt{x(s)}} \frac{1-0}{2} \left[\frac{\pi}{2} \frac{\cosh(s)}{\left(\cosh\left(\frac{\pi}{2} \sinh(s)\right) \right)^2} \right] ds$$

A forma final do problema fica

$$(15) \quad \begin{aligned} I &= \int_{-\infty}^{+\infty} \frac{1}{\sqrt{\left(\frac{0+1}{2} + \frac{1-0}{2} \tanh\left(\frac{\pi}{2} \sinh(s)\right)\right)}} \frac{1-0}{2} \left[\frac{\pi}{2} \frac{\cosh(s)}{\left(\cosh\left(\frac{\pi}{2} \sinh(s)\right) \right)^2} \right] ds \\ &= \int_{-\infty}^{+\infty} \frac{1}{\sqrt{\frac{1}{2} \left(1 + \tanh\left(\frac{\pi}{2} \sinh(s)\right) \right)}} \frac{1}{2} \left[\frac{\pi}{2} \frac{\cosh(s)}{\left(\cosh\left(\frac{\pi}{2} \sinh(s)\right) \right)^2} \right] ds \end{aligned}$$

O gráfico do integrando na equação (15) é mostrado na Figura 5 a seguir.

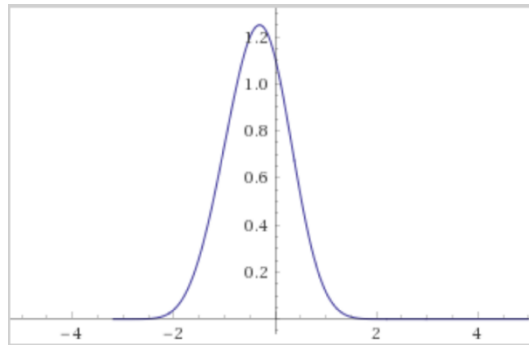


Figura 5: Gráfico de $\bar{f}(s)$ para o exemplo (2) com exponencial dupla.

Veja que, de fato, $\bar{f}(s)$ do exemplo (Figura 5), usando a substituição de x com as fórmulas da exponencial dupla mostradas nas equações (6) e (7), tem a forma do Dino adormecido mostrada na Figura 3, ou seja, o gráfico tende a zero quando s é bem pequeno ou bem grande. Neste exemplo, com $s = \pm 2.5$, $\bar{f}(s)$ já está visivelmente bem próxima de zero.

Agora, será analisado formalmente por que essas mudanças de variável fazem o integrando ter a forma do Dino adormecido mostrada na Figura 3.

3.4 Análise dos efeitos das mudanças de variável

Primeiramente, serão analisados os efeitos dos mapeamentos entre x e s sobre os limites de integração.

3.4.1 Mudanças dos limites de integração

A seguir, são analisados os gráficos das funções $x(s)$ nos dois casos, exponencial simples e exponencial dupla. Porém, antes de qualquer coisa, observe as

funções hiperbólicas que aparecem em $x(s)$:

$$(16) \quad \sinh(s) = \frac{1}{2}(e^s - e^{-s});$$

$$(17) \quad \cosh(s) = \frac{1}{2}(e^s + e^{-s});$$

$$(18) \quad (\sinh(s))^2 - (\cosh(s))^2 = \frac{1}{4}(e^s - e^{-s})^2 - \frac{1}{4}(e^s + e^{-s})^2 = 1$$

$$(19) \quad \tanh(s) = \frac{\sinh(s)}{\cosh(s)} = \frac{\frac{1}{2}(e^s - e^{-s})}{\frac{1}{2}(e^s + e^{-s})} = \frac{e^s - e^{-s}}{e^s + e^{-s}};$$

$$(20) \quad \operatorname{sech}(s) = \frac{1}{\cosh(s)} = \frac{2}{(e^s + e^{-s})};$$

$$(21) \quad \operatorname{cosech}(s) = \frac{1}{\sinh(s)} = \frac{2}{(e^s - e^{-s})}$$

$$(22) \quad \frac{d}{ds}(\sinh(s)) = \frac{1}{2}\left(\frac{d}{ds}e^s - \frac{d}{ds}e^{-s}\right) = \frac{1}{2}(e^s + e^{-s}) \stackrel{eq.(17)}{=} \cosh(s)$$

$$(23) \quad \frac{d}{ds}(\cosh(s)) = \frac{1}{2}\left(\frac{d}{ds}e^s + \frac{d}{ds}e^{-s}\right) = \frac{1}{2}(e^s - e^{-s}) \stackrel{eq.(16)}{=} \sinh(s)$$

$$(24) \quad \frac{d}{ds}(\tanh(s)) = \frac{d}{ds}\left(\frac{\sinh(s)}{\cosh(s)}\right) = \frac{\cosh(s)\cosh(s) - \sinh(s)\sinh(s)}{(\cosh(s))^2} \stackrel{eq.(18)}{=} \frac{1}{(\cosh(s))^2} \stackrel{eq.(20)}{=} (\operatorname{sech}(s))^2$$

3.4.1.1 Gráfico de $x(s)$ na exponencial simples

$$(25) \quad x(s) = \frac{a+b}{2} + \frac{b-a}{2}\tanh(s) = \frac{a+b}{2} - \frac{b-a}{2}\frac{e^s - e^{-s}}{e^s + e^{-s}} \stackrel{Fig.6}{\Rightarrow} \begin{cases} s \rightarrow -\infty & \Rightarrow x(s) \rightarrow \frac{a+b}{2} - \frac{b-a}{2} = a \\ s = 0 & \Rightarrow x(s) = \frac{a+b}{2} \\ s \rightarrow +\infty & \Rightarrow x(s) \rightarrow \frac{a+b}{2} + \frac{b-a}{2} = b \end{cases}$$

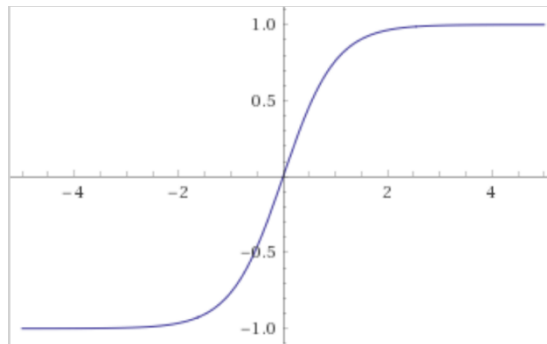


Figura 6: Gráfico de $\tanh(s) = \frac{e^s - e^{-s}}{e^s + e^{-s}}$

Assim, pela equação (25), notam-se as correspondências dos limites de integração na variável x , ou seja, a e b com os limites na variável s , $-\infty$ e $+\infty$ respectivamente.

Outra observação importante é que, na mudança de variável, **a função $f(x)$ não sofre escala vertical**, mas, simplesmente, **sofre uma escala horizontal** de forma que o intervalo $[a, b]$ é esticado para $[-\infty, +\infty]$. Assim, no exemplo (2), a parte $f(x(s))$ do novo integrando tem o mesmo gráfico mostrado na Figura 1, sendo que o ponto de singularidade está em $-\infty$.

Então, se o gráfico de $f(x(s))$ tem a mesma forma do gráfico de $f(x)$, como é que o novo integrando tem a forma do Dino adormecido da Figura 3?

A resposta a essa pergunta, vem da análise da segunda parte do novo integrando, ou seja, $\frac{dx(s)}{ds}$.

No caso da exponencial simples, pela equação (5), escreve-se

$$(26) \quad \frac{dx(s)}{ds} = \frac{b-a}{2} \frac{1}{(\cosh(s))^2} = \frac{b-a}{2} \frac{1}{\left(\frac{1}{2}(e^s + e^{-s})\right)^2} = \frac{b-a}{2} \frac{4}{e^{2s} + 2 + e^{-2s}}$$

$$\xRightarrow{\text{Fig.7}} \begin{cases} s \rightarrow -\infty \Rightarrow \frac{dx(s)}{ds} \rightarrow \frac{b-a}{2} \lim_{s \rightarrow -\infty} \frac{4}{e^{2s} + 2 + e^{-2s}} = 0 \\ s \rightarrow +\infty \Rightarrow \frac{dx(s)}{ds} \rightarrow \frac{b-a}{2} \lim_{s \rightarrow +\infty} \frac{4}{e^{2s} + 2 + e^{-2s}} = 0 \end{cases}$$

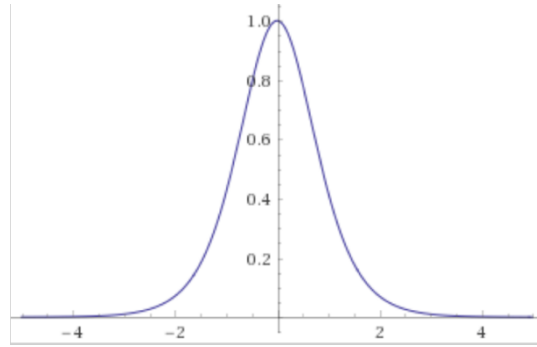


Figura 7: Gráfico de $\frac{1}{(\cosh(s))^2} = \frac{4}{e^{2s} + 2 + e^{-2s}}$

A equação (26) e o gráfico mostrado na Figura 7 indicam que o gráfico da função $f(x(s))$ será multiplicado, ponto a ponto, por $\frac{b-a}{2}$ vezes o gráfico da Figura 7, definindo a forma final do integrando como a forma do Dino adormecido mostrada na Figura 3.

3.4.1.2 Gráfico de $x(s)$ na exponencial dupla

$$(27) \quad x(s) = \frac{a+b}{2} + \frac{b-a}{2} \tanh\left(\frac{\pi}{2} \sinh(s)\right) \xRightarrow{\text{Fig.8}} \begin{cases} s \rightarrow -\infty \Rightarrow x(s) \rightarrow \frac{a+b}{2} - \frac{b-a}{2} = a \\ s = 0 \Rightarrow x(s) = \frac{a+b}{2} \\ s \rightarrow +\infty \Rightarrow x(s) \rightarrow \frac{a+b}{2} + \frac{b-a}{2} = b \end{cases}$$

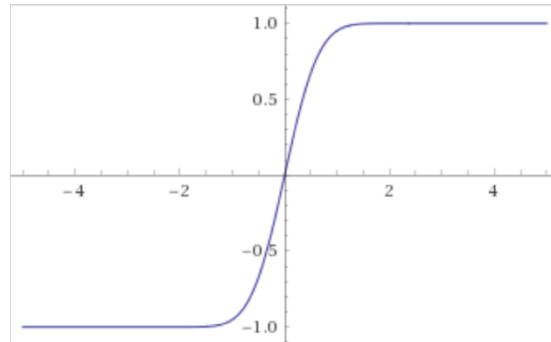


Figura 8: Gráfico de $\tanh\left(\frac{\pi}{2} \sinh(s)\right)$

Assim, pela equação (27), notam-se as correspondências dos limites de integração na variável x , ou seja, a e b com os limites na variável s , $-\infty$ e $+\infty$ respectivamente.

É importante enfatizar novamente que, na mudança de variável, **a função $f(x)$ não sofre escala vertical**, mas, simplesmente, **sofre uma escala horizontal** de forma que o intervalo $[a, b]$ é esticado para $[-\infty, +\infty]$. Assim, no exemplo (2), a parte $f(x(s))$ do novo integrando tem o mesmo gráfico mostrado na Figura 1, sendo que o ponto de singularidade está em $-\infty$.

Então, se o gráfico de $f(x(s))$ tem a mesma forma do gráfico de $f(x)$, para que o novo integrando tenha a forma do Dino adormecido da Figura 3, é preciso que a parte $\frac{dx(s)}{ds}$ force $f(x(s))$ para zero à medida que s vai diminuindo para $-\infty$ e aumentando para $+\infty$.

No caso da exponencial dupla, pela equação (7), escreve-se

$$(28) \quad \frac{dx(s)}{ds} = \frac{b-a}{2} \left[\frac{\pi}{2} \frac{\cosh(s)}{\left(\cosh\left(\frac{\pi}{2} \sinh(s)\right) \right)^2} \right]$$

$$\xRightarrow{\text{Fig. 9}} \begin{cases} s \rightarrow -\infty \Rightarrow \frac{dx(s)}{ds} \rightarrow \frac{b-a}{2} \lim_{s \rightarrow -\infty} \left[\frac{\pi}{2} \frac{\cosh(s)}{\left(\cosh\left(\frac{\pi}{2} \sinh(s)\right) \right)^2} \right] = 0 \\ s \rightarrow +\infty \Rightarrow \frac{dx(s)}{ds} \rightarrow \frac{b-a}{2} \lim_{s \rightarrow +\infty} \left[\frac{\pi}{2} \frac{\cosh(s)}{\left(\cosh\left(\frac{\pi}{2} \sinh(s)\right) \right)^2} \right] = 0 \end{cases}$$

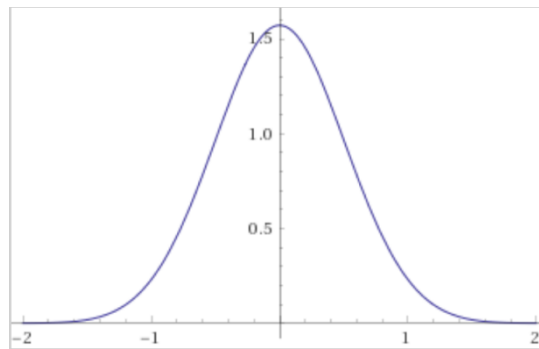


Figura 9: Gráfico de $\left[\frac{\pi}{2} \frac{\cosh(s)}{\left(\cosh\left(\frac{\pi}{2} \sinh(s)\right) \right)^2} \right]$

A equação (28) e o gráfico mostrado na Figura 9 indicam que o gráfico da função $f(x(s))$ será multiplicado, ponto a ponto, por $\frac{b-a}{2}$ vezes o gráfico da Figura 9, definindo a forma final do integrando como a forma do Dino adormecido mostrada na Figura 3.

4. Solução do problema depois da mudança de variável.

Com a mudança de variável, o integrando ficou com a forma do Dino adormecido mostrada na Figura 3. Assim, pode-se tentar resolver o problema das seguintes maneiras:

Solução 1: Transformar o problema de forma a resolvê-lo pela quadratura de Gauss-Hermite.

$$(29) \quad I = \int_{-\infty}^{+\infty} \bar{f}(s) ds = \int_{-\infty}^{+\infty} e^{-s^2} \left(e^{s^2} \bar{f}(s) \right) ds = \int_{-\infty}^{+\infty} e^{-s^2} \left(\bar{\bar{f}}(s) \right) ds \approx \sum_{k=1}^n w_k \bar{\bar{f}}(s_k),$$

onde

$$(30) \quad \bar{\bar{f}}(s) = e^{s^2} \bar{f}(s).$$

Solução 2: Transformar o problema de forma a resolvê-lo por Newton-Cotes ou Gauss-Legendre.

$$(31) \quad I = \int_{-\infty}^{+\infty} \bar{f}(s) ds \approx \int_{-c}^{+c} \bar{f}(s) ds \approx \sum_{k=1}^n w_k \bar{f}(s_k),$$

Na próxima aula, as soluções propostas nesta seção serão detalhadas.